

# LES EFFETS **THERMOELECTRIQUES**

:

## Estimation de l'influence de l'Effet Thomson

Khalid MAKROUMI N° 44934  
Juin-Juillet 2021



# Sommaire

1

Motivation & Introduction

2

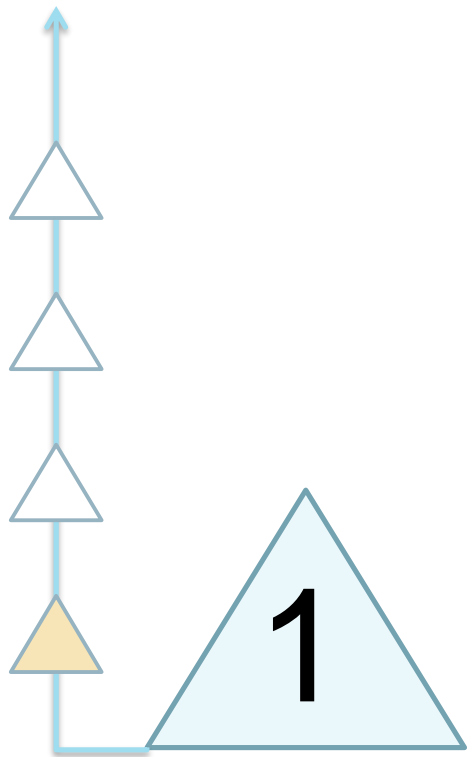
Quelques effets thermoélectriques

3

Etude de l'impact de l'Effet Thomson sur les métaux (ex : Cuivre)

4

Conclusion



# Motivation & Introduction

# Motivation



Fig 1.1 : La croissance économique.



Fig 1.2 : Charbon.



Fig 1.3 : Emission de gaz à effet de serre

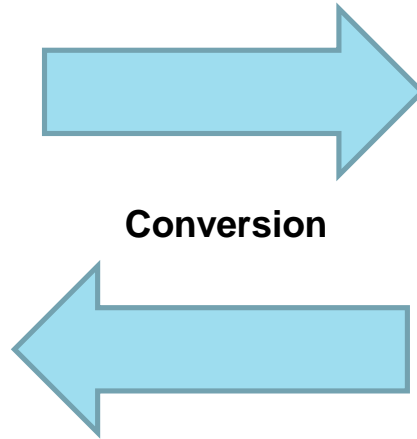


Fig 1.4 : Respect de l'environnement.

# Introduction



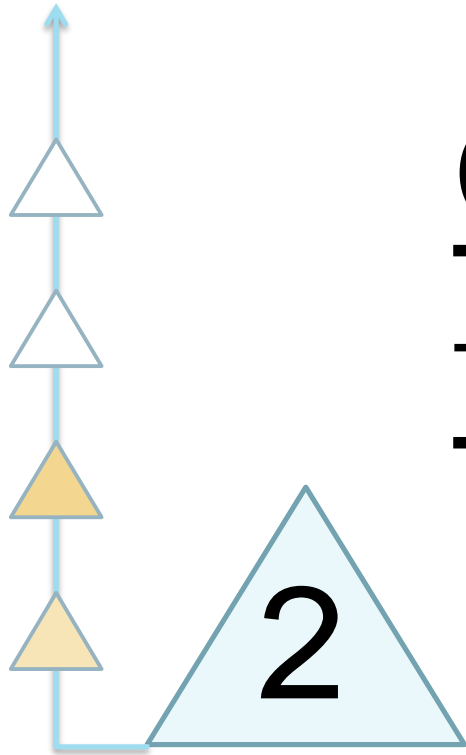
Fig 1.5 : Chaleur



Conversion



Fig 1.6 : Electricité



# Quelques effets thermoélectriques


# Effet Seebeck

## ■ Conduction électrique (Ohm 1827)



Georg Simon Ohm

$$T = \text{cste} \quad (\vec{\nabla} T = \vec{0})$$


$$\vec{j} = j_x \vec{i}$$
$$\vec{E} = -\vec{\nabla} V = -\frac{\partial V}{\partial x} \vec{i}$$

$$\vec{j} = \sigma \vec{E} = \frac{\vec{E}}{\rho}$$

Loi d'Ohm locale

$E$  [V/m] : champ électrique

$V$  [V] : potentiel électrique

$j$  [A/m<sup>2</sup>] : densité de courant

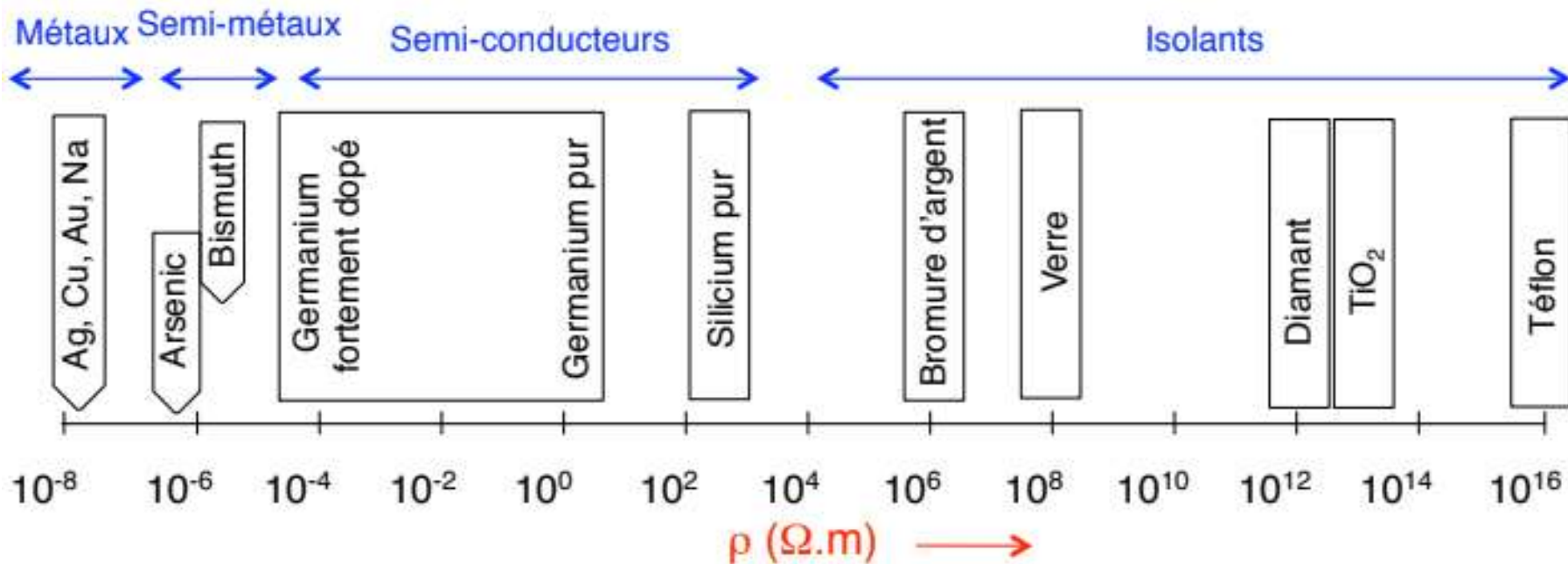
$\rho$  [Ω.m] : résistivité électrique

$\sigma$  [Ω<sup>-1</sup>.m<sup>-1</sup>] : conductivité électrique



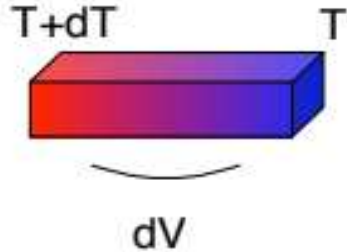


## Ordre de grandeur de la résistivité de quelques matériaux



- Effet Seebeck (1821)

$$\vec{j} = \vec{0}$$



$$dV = -\alpha dT$$

$$\vec{E} = \alpha \vec{\nabla} T$$

$\alpha \geq 0$  ou  $< 0$ , propriété intrinsèque

V [V] : tension  
E [V/m] : champ électrique  
 $\alpha$  [V/K] : coef. Seebeck

Thomas Johann Seebeck

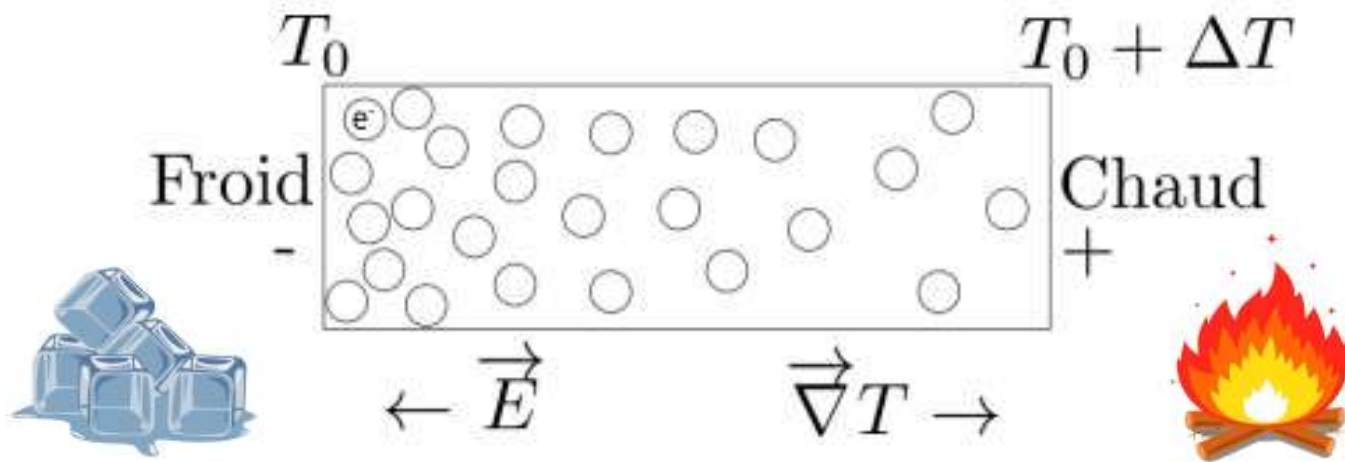
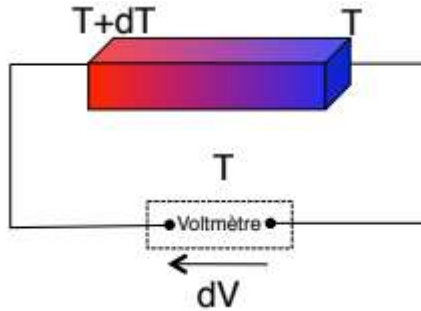


Fig 2.1 : Schéma de principe de l'effet Seebeck dans un métal ou semi-conducteur.

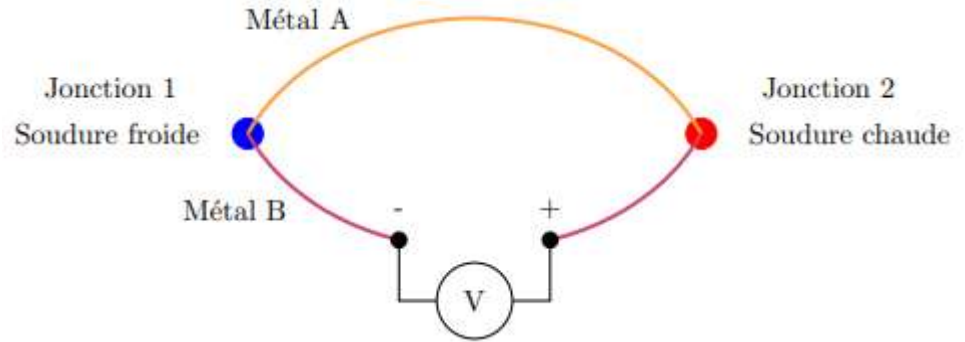


Expérimentalement, on n'accède pas directement à  $\alpha$  !



$$dV = (\alpha - \alpha_{fil})dT$$

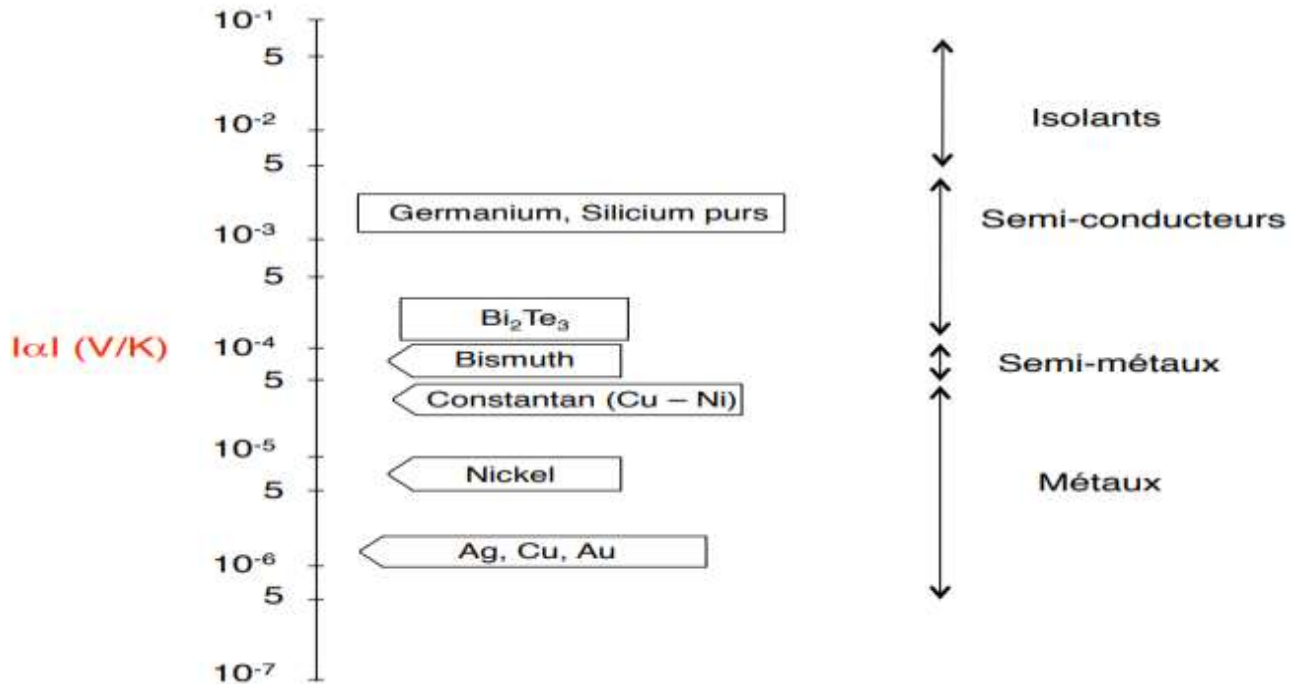
## Généralement



$$dV = \alpha_{AB}dT = (\alpha_A - \alpha_B)dT$$



## Ordre de grandeur du coefficient Seebeck de quelques matériaux



# Effet Peltier

- Conduction thermique (Fourier 1822)



Joseph Fourier

$$\vec{\nabla}T = \frac{\partial T}{\partial x} \vec{i}$$

$$\vec{j} = \vec{0}$$



Loi de Fourier

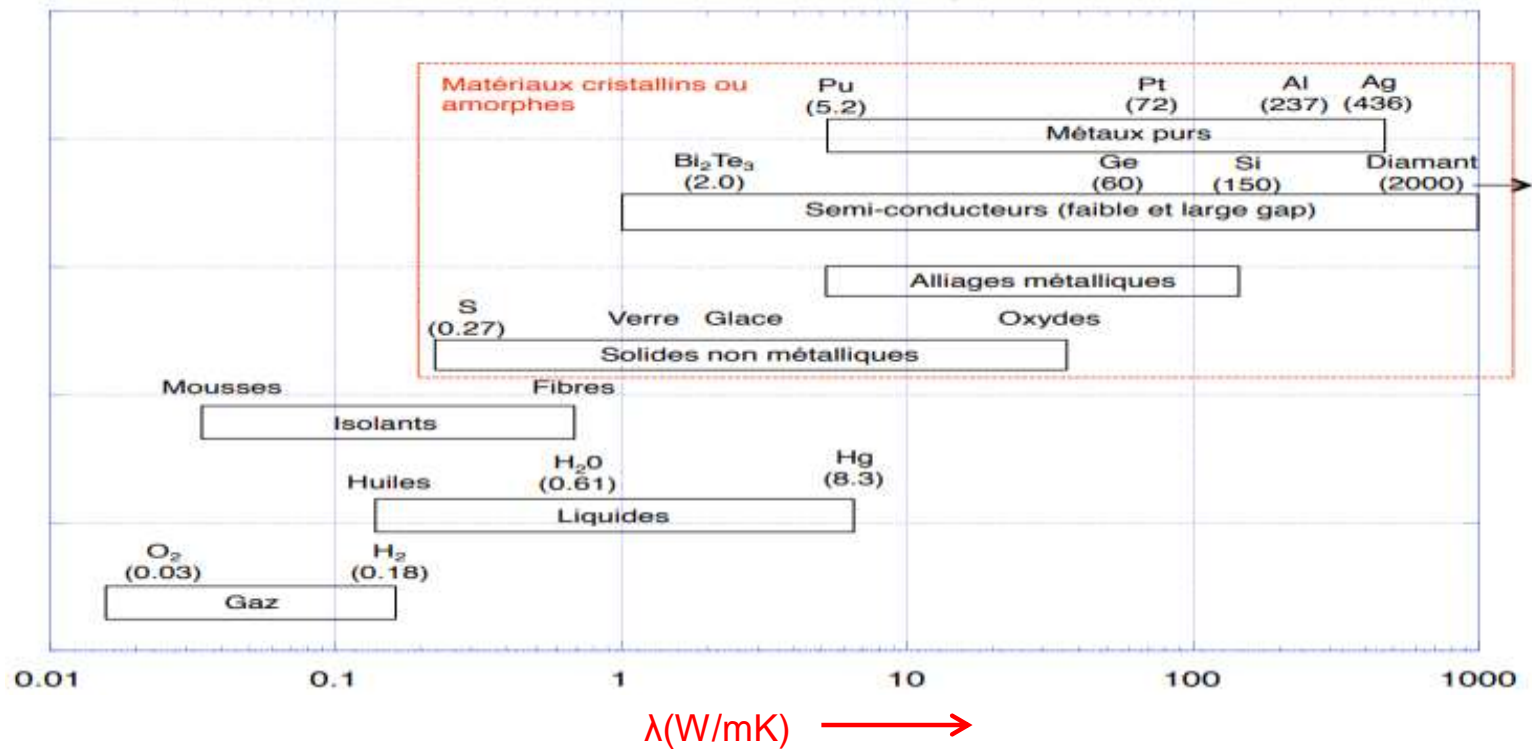
$$\vec{j}_{Th} = -\lambda \vec{\nabla}T$$

$$\vec{j}_{Th} = j_{Thx} \vec{i}$$

$j_{Th}$  [J/s.m<sup>2</sup>] : densité de courant thermique  
T [K] : température  
 $\lambda$  [W/mK] : conductivité thermique



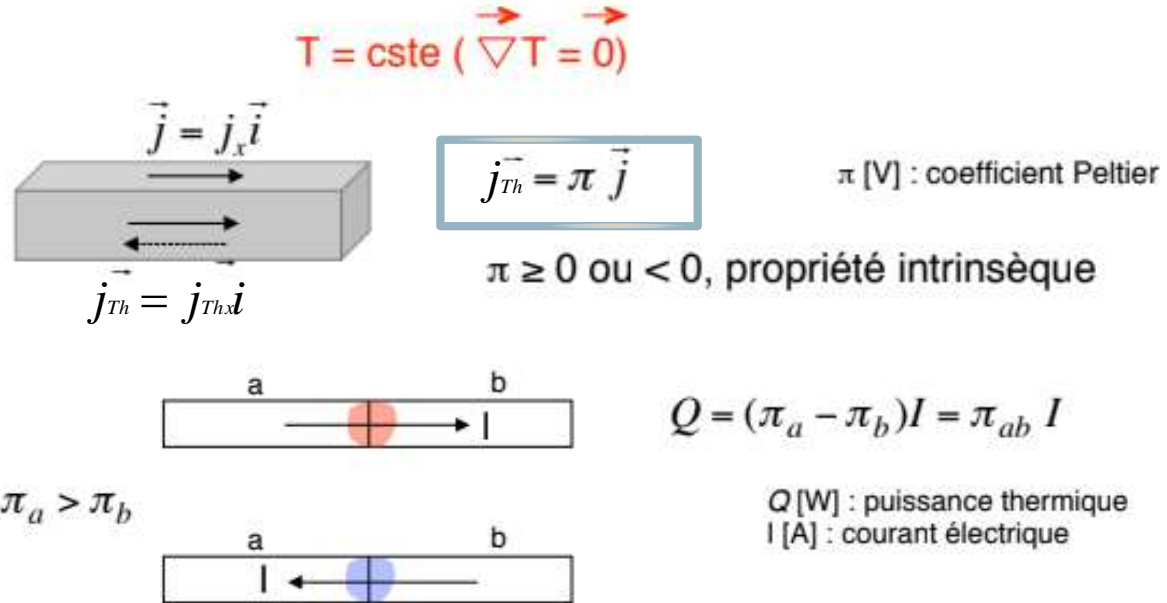
## Ordre de grandeur de la conductivité thermique de quelques matériaux



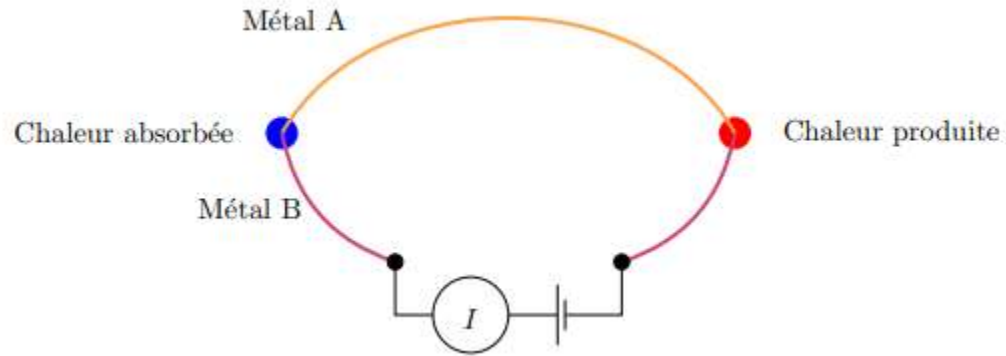
- Effet Peltier (1834)



Jean-Charles  
Athanase Peltier







avec :  $\pi_A \succ \pi_B$

» La deuxième relation de Kelvin :

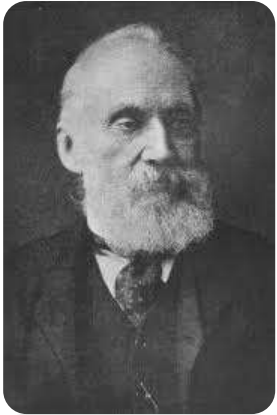
$$\pi = \alpha T$$



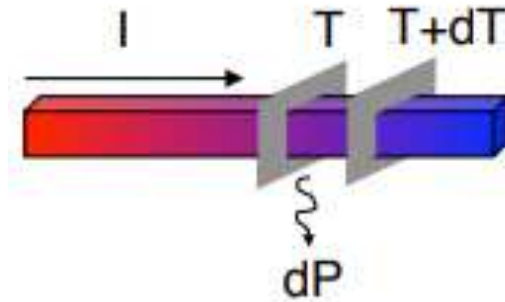
Fig 2.2 : Réfrigération à effet Peltier.

# Effet Thomson

- Effet Thomson (1851)



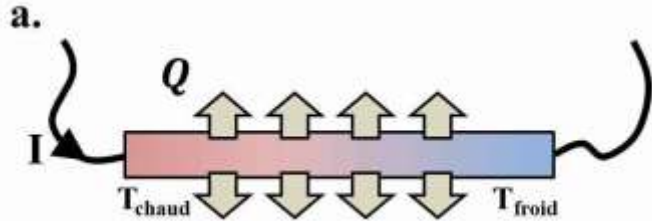
William Thomson  
(Lord Kelvin)



$$dP = \tau dT$$

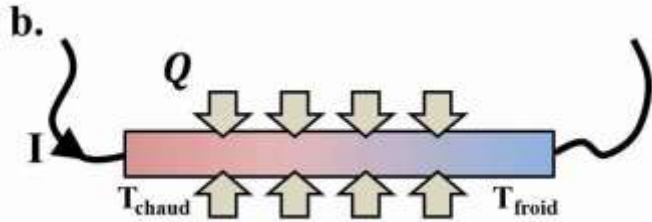
$\tau$  [V/K] : coefficient Thomson

$$\tau \geq 0 \quad \text{ou} \quad < 0$$



$$\tau < 0$$

$$P_{\text{Thomson}} = -\tau \vec{j} \cdot \vec{\nabla} T$$

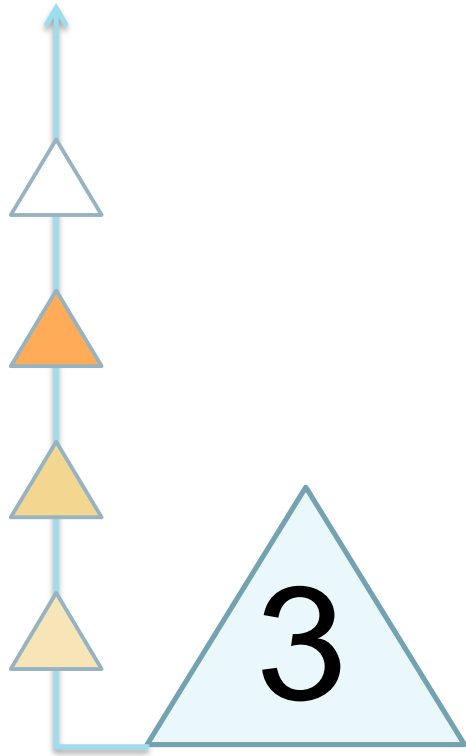


$$\tau > 0$$

$P_{\text{Thomson}} [\text{W/m}^3]$  : puissance thermique volumique

» La première relation de Kelvin :

$$\tau = T \frac{d\alpha}{dT}$$



# Etude de l'impact de l'Effet Thomson sur les métaux (exemple : le cuivre)

# Etude Théorique

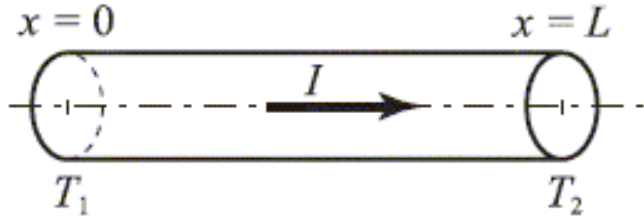


Fig 3.1 : Barre conductrice de cuivre calorifugée.

$L$  [m] : longueur de la barre.

$S$  [m<sup>2</sup>] : surface de la base.

$\mathcal{V}$  [S/m] : conductivité électrique du cuivre.

$I$  [A] : courant continu.

$\lambda$  [W/m.K] : conductivité thermique du cuivre.

$c$  [J/kg.K] : capacité calorifique massique du cuivre.

$\rho$  [kg/m<sup>3</sup>] : masse volumique du cuivre.

$\tau$  [V/K] : coefficient thomson.

$$dP_J = dRI^2 \quad \text{Or :} \quad dR = \frac{dx}{\gamma S}$$

Donc :

$$dP_J = \frac{I^2 dx}{\gamma S}$$

$$dP_T = \tau dT$$

## ■ Sans Prise en considération l'Effet Thomson

- Volume du cuivre compris entre les sections d'abscisse  $x$  et  $x+dx$  :  $Sdx$
- Masse du cuivre :  $S\rho dx$
- Capacité thermique :  $S\rho c dx$
- Flux thermique entrant :  $Sj_{Th}(x, t) + dP_J$
- Flux thermique sortant :  $Sj_{Th}(x + dx, t)$
- $T_2 \succ T_1$



Application du premier principe de la thermodynamique :

$$Sj_{Th}(x, t)dt + \frac{I^2 dx}{\gamma S} dt - Sj_{Th}(x + dx, t)dt = S\rho c dx dT$$

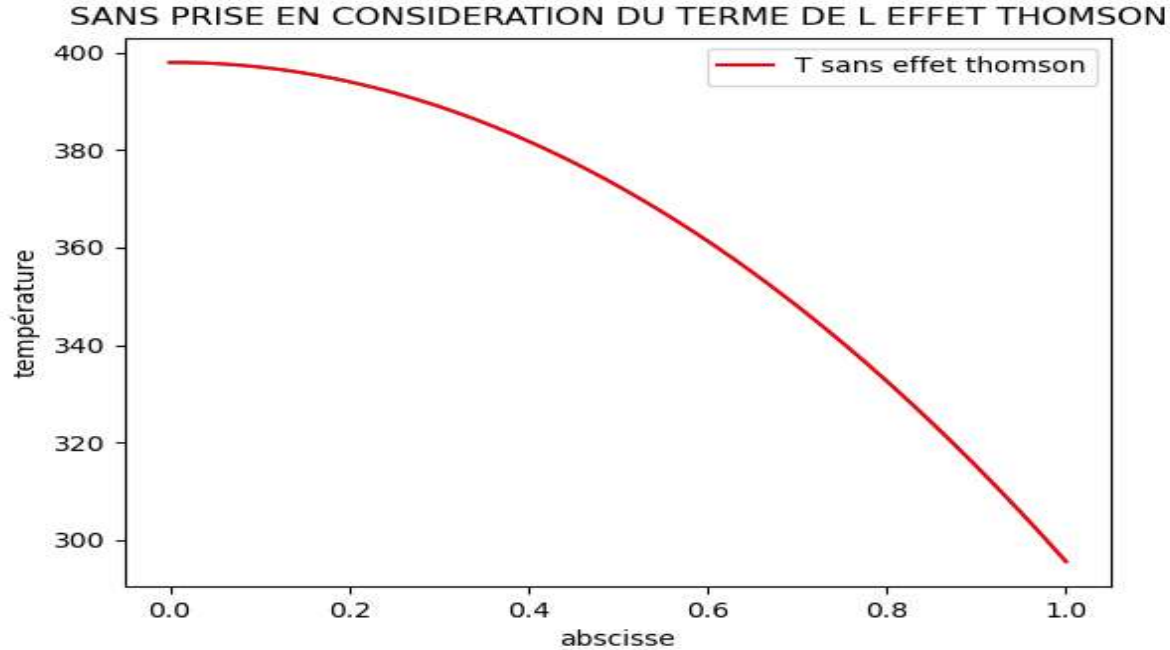
$$-S \frac{\partial j_{Th}}{\partial x} dx dt + \frac{I^2 dx}{\gamma S} dt = S\rho c \frac{\partial T}{\partial t} dt dx$$

$$\lambda \frac{\partial^2 T}{\partial x^2} + \frac{I^2}{\gamma S^2} = \rho c \frac{\partial T}{\partial t} \quad (\text{Loi de Fourier})$$

$$\frac{\partial^2 T}{\partial x^2} + \frac{I^2}{\lambda \gamma S^2} = \frac{\rho c}{\lambda} \frac{\partial T}{\partial t}$$



## Résolution numérique de l'équation différentielle dans le régime stationnaire



$$\frac{\partial^2 T}{\partial x^2} + \frac{I^2}{\lambda \gamma S} = 0$$

## ■ Prise en considération l'Effet Thomson

- Volume du cuivre compris entre les sections d'abscisse  $x$  et  $x+dx$  :  $Sdx$

- Masse du cuivre :  $S\rho dx$

- Capacité thermique :  $S\rho c dx$

- Flux thermique entrant :  $Sj_{th}(x, t) + dP_I$

- Flux thermique sortant :  $Sj_{th}(x + dx, t) + dP_T$

- $T_2 \succ T_1$



Application du premier principe de la thermodynamique :

$$Sj_{th}(x, t)dt + \frac{I^2 dx}{\gamma S} dt - Sj_{th}(x + dx, t)dt - \tau I dT dt = S\rho c dx dT$$

$$-S \frac{\partial j_{th}}{\partial x} dx dt + \frac{I^2 dx}{\gamma S} dt - \tau I \frac{\partial T}{\partial x} dx dt = S\rho c \frac{\partial T}{\partial t} dt dx$$

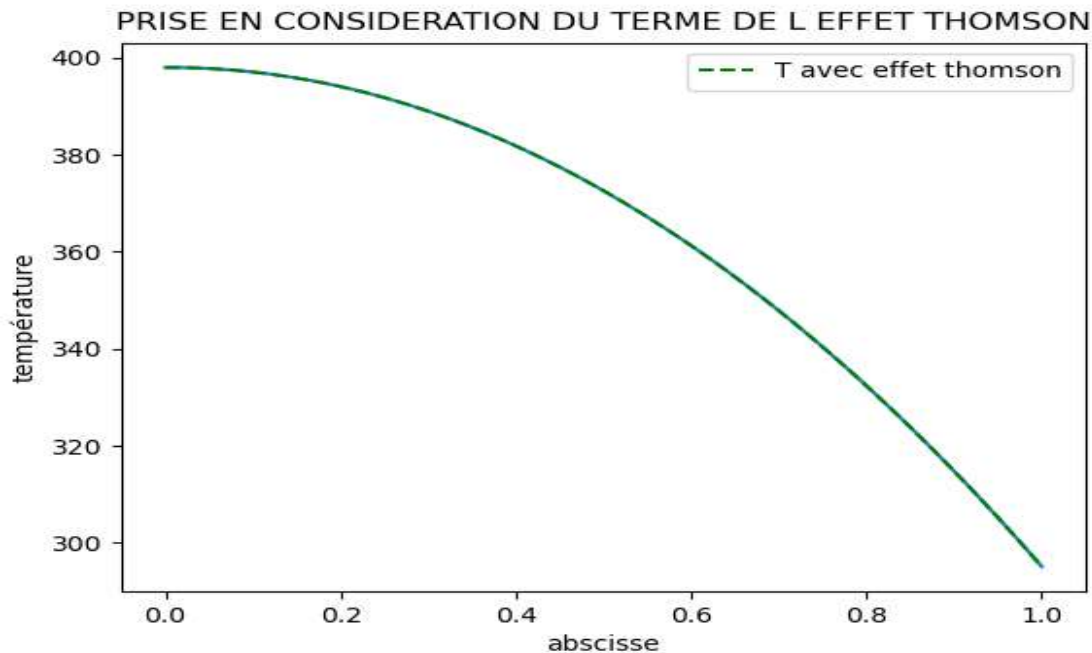
$$\lambda \frac{\partial^2 T}{\partial x^2} - \frac{\tau I}{S} \frac{\partial T}{\partial x} + \frac{I^2}{\gamma S^2} = \rho c \frac{\partial T}{\partial t} \quad (\text{Loi de Fourier})$$

$$\frac{\partial^2 T}{\partial x^2} - \frac{\tau I}{\lambda S} \frac{\partial T}{\partial x} + \frac{I^2}{\lambda \gamma S^2} = \frac{\rho c}{\lambda} \frac{\partial T}{\partial t}$$





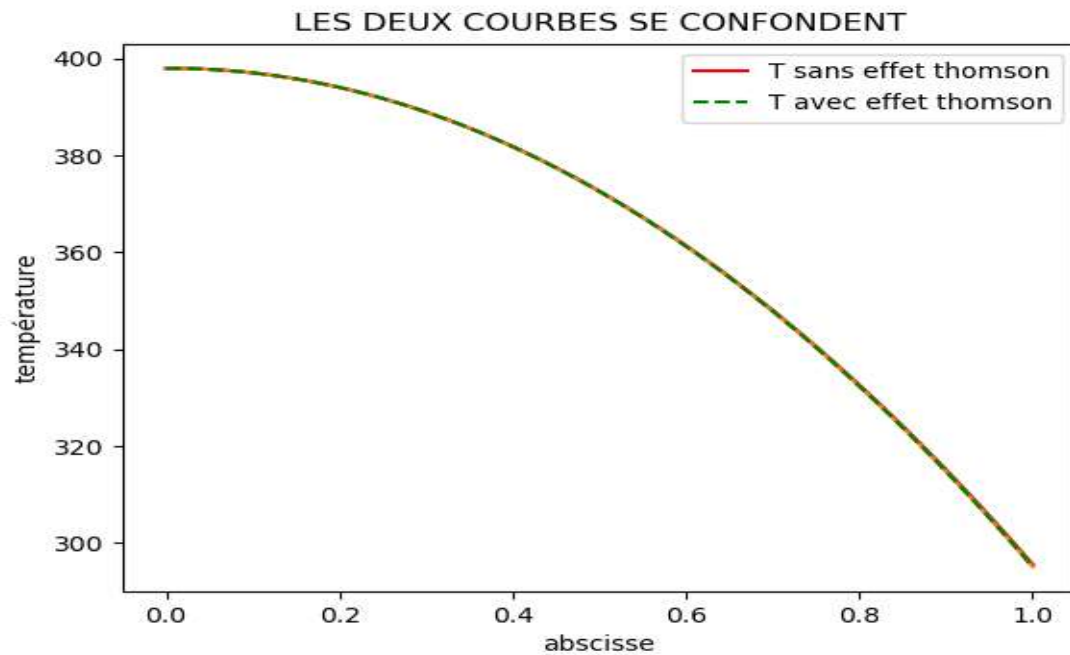
## Résolution numérique de l'équation différentielle dans le régime stationnaire



$$\frac{\partial^2 T}{\partial x^2} - \frac{\pi d}{\lambda S} \frac{\partial T}{\partial x} + \frac{I^2}{\lambda \gamma S^2} = 0$$



## Les deux courbes simultanément



# Protocole expérimental

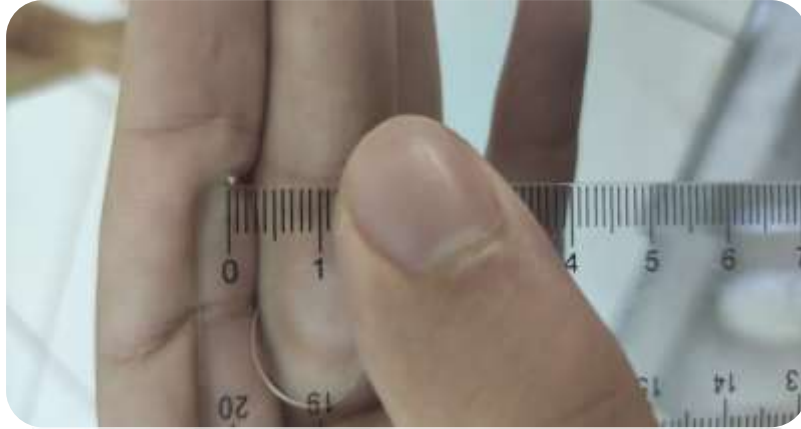


Fig 3.2 : Fil conducteur de cuivre de diamètre 1 mm.



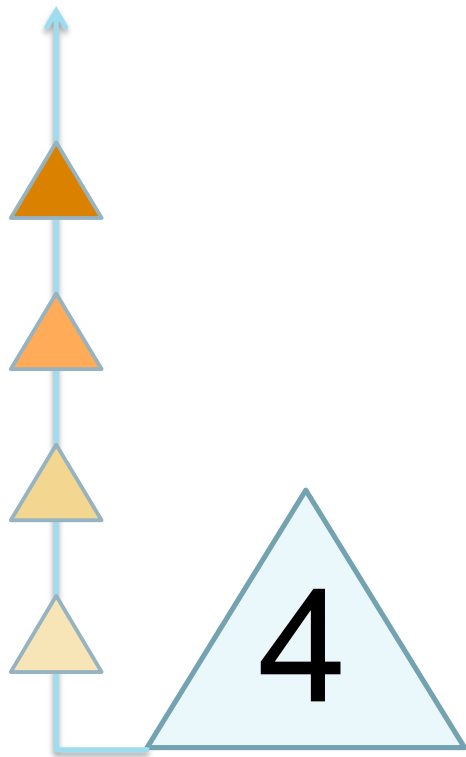
Fig 3.3 : Chalumeau à gaz.



Fig 3.4 : Mesure de la température.



Fig 3.5 : Thermomètre.



# Conclusion

Merci pour  
votre  
attention.

# Annexe



## Code Python

```
1 import numpy as np
2 import matplotlib.pyplot as plt
3
4 def euler(F,a,b,Z0,N):
5     h=(b-a)/(N-1)
6     x=np.linspace(a,b,N)
7     Z=np.zeros((N,2))
8     Z[0]=Z0
9     for i in range (0,N-1):
10         Z[i+1]=Z[i]+h*F(x[i],Z[i])
11     return x,Z[:,0]
```

```

13 h = (2.2)*(10**(-6))
14 S = (7.85)*(10**(-7))
15 lmb = 400
16 I = 1.75
17 gamma = 6*(10**7)
18
19 A=1/(gamma*lmb*(S**2))
20
21
22 # SANS PRISE EN CONSIDERATION DU TERME DE L'EFFET THOMSON
23
24 def FJ(x,Z):
25     # Z=[T,T']
26     # Z'=[T',T'']
27     # Z'=[T',-A*(I**2)]
28     return np.array([Z[1],-A*(I**2)])
29
30 # test
31
32 Z0=np.array([398,0])
33 x,Tl=euler(FJ,0,1,Z0,100)
34 plt.plot(x,Tl)
35 plt.xlabel('abscisse')
36 plt.ylabel('température')
37 plt.title('SANS PRISE EN CONSIDERATION DU TERME DE L'EFFET THOMSON')
38 plt.plot(x, Tl,'r', label="T sans effet thomson")
39 plt.legend()
40 plt.show()

```



```

43 # PRISE EN CONSIDERATION DU TERME DE L'EFFET THOMSON
44
45 def FT(x,Z):
46     # Z=[T,T']
47     # Z'=[T',T'']
48     # Z'=[T',(h/(S*lamb))*I*T'-A*(I**2)]
49     return np.array([Z[1],(h/(S*lmb))*I*Z[1]-A*(I**2)])
50
51 # test
52
53 Z0=np.array([398,0])
54 x,T2=euler(FT,0,1,Z0,100)
55 plt.plot(x,T2)
56 plt.xlabel('abscisse')
57 plt.ylabel('température')
58 plt.title('PRISE EN CONSIDERATION DU TERME DE L EFFET THOMSON')
59 plt.plot(x, T2,'g--', label="T avec effet thomson")
60 plt.legend()
61 plt.show()

```